

# Híradástechnikai hálózati transzformátorok melegedésvizsgálata

P F L L E G E L  
P É T E R  
BME  
HÍRADÁSTECHNIKAI  
ELEKTRONIKA  
INTÉZET

## Bevezetés

A transzformátorméretezés optimalizálásának sarkalatos pontja a melegedési viszonyok pontos ismerete. Az optimális tervezést legtöbbször éppen az hiúsítja meg, hogy a transzformátor hőátadási képességét — az erre vonatkozó pontos adatok hiányában — biztonsági okokból alábecsülik. A transzformátorok hőátadásának mechanizmusát ezért a korábbi méretezési eljárásban [2, 3] alkalmazott termikus modellnél részletesebb modell alapján tárgyaltuk, és a modell helyességét mérési sorozattal igazoltuk. A mérési eredményei alapján módosítottuk a méretezési eljárásnak [2] és a tervező programnak [3] a magméret kiválasztásával kapcsolatos részét. A módosítás hatását az eredeti és a módosított tervező programmal [1] is futtatott mintapélda eredményeinek összehasonlítása szemlélteti.

## A termikus modell

A transzformátor melegedésén ( $\Delta T$ ) a transzformátor és a környezet hőmérsékletének különbségét értjük:

$$\Delta T = T_{tr} - T_k. \quad (1)$$

A transzformátor melegedését a benne keletkező veszteségi teljesítmény ( $P_d$ ) okozza:

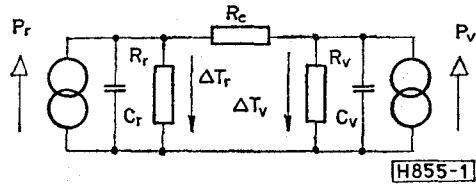
$$P_d = P_r + P_v, \quad (2)$$

ahol  $P_r$  a rézveszteségi teljesítmény,  $P_v$  pedig a vasveszteségi (hiszterézis és örvényáramú) teljesítmény.

A transzformátor hőátadási képességét a veszteségi teljesítmény és a hozzá tartozó melegedés hányadosával, a hőátadási tényezővel ( $k_T$ ) jellemzik [4, 5]:

$$k_T = P_d / \Delta T. \quad (3)$$

Az eddigiek szerint a transzformátort egyetlen, mindenütt azonos hőmérsékletű testnek tekintettük. A tapasztalat azonban azt mutatja, hogy ez az esetek többségében nem igaz. A csévetest termikus szigetelése miatt a tekercselés és a mag melegedése egymástól eltérő, mivel a kétfajta veszteségi teljesítmény bizonyos fókig elkülönítve fejti ki hatását, azaz a rézveszteség főleg a tekercset, a vasveszteség pedig főleg a magot melegíti. A tekercselés és a mag ugyan-



1. ábra. A transzformátor kétidőállandós termikus modellje

akkor külön-külön azonos hőmérsékletűnek vehető, mivel fémek lévén jó hővezetők.

A fenti elgondolások alapján — a hőtan és a villamosságtan alapfogalmai közötti analógiát felhasználva [6] — a transzformátort az 1. ábrán látható termikus helyettesítő képpel modelleztük. Az ábrán  $P_r$  és  $P_v$  a réz- és a vasveszteségi teljesítmény (hőáram),  $\Delta T_r$  és  $\Delta T_v$  a tekercselés és a mag melegedése,  $R_r$ ,  $R_v$  és  $C_r$ ,  $C_v$  a tekercselés és a mag környezethez képesti hőellenállása a tekercselés és a mag között. A modellalkotás során elhanyagoltuk a csévetest hőkapacitását és a környezethez képesti hőellenállását, mivel a csévetest tömege és szabad felülete a tekercselés és a mag tömegéhez és szabad felületéhez képest kicsi.

A tervező a tekercselés maximális hőmérsékletét írja elő, mivel a transzformátor meghibásodása szempontjából ez a kritikus. A tekercselés állandósult (maximális) melegedése ( $\Delta T_{rM}$ ) az 1. ábra alapján:

$$\Delta T_{rM} = \lim_{t \rightarrow \infty} \Delta T_r(t) = P_r [R_r \times (R_c + R_v)] + P_v [R_v \times (R_c + R_r)] \frac{R_r}{R_c + R_r}. \quad (4)$$

Vezessük be a tekercselésre vonatkozó hőátadási tényező ( $k_T$ ) és a hőellenállás-arány ( $r$ ) fogalmát:

$$k_T = \frac{1}{R_r \times (R_c + R_v)}, \quad r = \frac{R_v + R_c}{R_v}. \quad (5)$$

E fogalmakkal a (4) összefüggés:

$$\Delta T_{rM} = \frac{P_r}{k_T} + \frac{P_v}{rk_T}. \quad (6)$$

Célunk a helyettesítő kép hőellenállásainak meghatározása, mivel — (5) és (6) szerint — ezek szabják meg a tekercselés állandósult melegedését.

A hőellenállások elméleti úton történő meghatározása igen nehéz, közvetlen mérésük nem lehetséges. Meghatározásukat ezért ismert hőárammal gerjesztett hálózat melegedésmérésére vezetjük vissza.

### Számítási eljárás

A számítási eljárás egyszerűsítése érdekében a transzformátor tekercsein egyenáramot vezetünk át. Ekkor vasvesztés nem keletkezik ( $P_v=0$ ), így az 1. ábra jobb oldali áramgenerátora elhagyható.

Milyen a rézvesztéségi teljesítmény időfüggése? A számítás szempontjából az állandó rézvesztés lenne a legkedvezőbb. Ez azonban nem teljesül sem állandó feszültségű, sem állandó áramú meghajtáskor, mivel a melegedő tekercs a huzalanyag fajlagos ellenállásának hőfokfüggése miatt változtatja ellenállását:

$$R(t) = R_0[1 + \alpha \Delta T_r(t)], \quad (7)$$

ahol  $R_0$  a tekercs ellenállása a környezeti hőmérsékleten,  $\alpha$  a huzalanyag fajlagos ellenállásának hőfoktényezője,  $\Delta T_r(t)$  a tekercs melegedésének időfüggvénye.

A tekercs állandó feszültségű ( $U_0$ ) meghajtása egyszerűen megoldható. Ez esetben a rézvesztés:

$$P_r(t) = \frac{U_0^2}{R_0[1 + \alpha \Delta T_r(t)]} = \frac{P_0}{1 + \alpha \Delta T_r(t)}. \quad (8)$$

A (8) függvény azonban a számítás szempontjából kedvezőtlen, mert  $P_r(t)$  Laplace-transzformáltja, amelyre a későbbiekben szükség van, nem állítható elő zárt alakban. A tekercs állandó áramú táplálása esetén viszont

$$P_r(t) = I_0^2 R_0[1 + \alpha \Delta T_r(t)] = P_0[1 + \alpha \Delta T_r(t)]. \quad (9)$$

Ezzel az említett számítási nehézség elesik, ugyanakkor a feladat mérés technikailag sem lett bonyolult [7].

Tételezzük fel továbbá, hogy egyidejűleg mérjük a tekercselés és a mag melegedését. Írjuk fel a melegedések időfüggvényeit a helyettesítő kép alapján a Kirchhoff-törvények felhasználásával:

$$\Delta T_r(t) = \frac{1}{C_r} \int_0^t \left[ P_r(t) - \frac{\Delta T_r(t)}{R_r} - \frac{\Delta T_r(t) - \Delta T_v(t)}{R_c} \right] dt \quad (10)$$

$$\Delta T_v(t) = \frac{1}{C_v} \int_0^t \left[ \frac{\Delta T_r(t) - \Delta T_v(t)}{R_c} - \frac{\Delta T_v(t)}{R_v} \right] dt. \quad (11)$$

A (10), (11) egyenletek csak akkor teljesülnének maradéktalanul, ha a felvett termikus modell tökéletesen fedné a valóságot, és a melegedés-idő függvényeket abszolút pontosan mérnénk. E két feltétel egyike sem teljesül. A véletlenszerű mérési hibák hatása azonban csökkenthető, ha a  $\Delta T_r(t)$  és  $\Delta T_v(t)$  melegedés-idő függvényeket több időpontban mérjük.

Írjuk fel a (10), (11) egyenleteket  $t=t_i$  időpontokra ( $i=1, 2, \dots, n$ ), és képezzük az egyenletek nullára rendezett alakjainak négyzetösszegét. Ezt a négyzet-

összeget a helyettesítő kép elemértékeinek függvényében minimalizálva meghatározható a termikus modell elemeinek olyan értékegyüttese, amellyel a modell a legkisebb hibával közelíti a mért melegedéseket [8].

Az elmondottak alapján legyen a minimalizálandó hibafüggvény:

$$H(R_r, R_v, R_c, C_r, C_v) = \sum_{i=1}^n \left\{ \int_0^{t_i} \left[ \frac{\Delta T_r(t) - \Delta T_v(t)}{R_c} - \frac{\Delta T_v(t)}{R_v} \right] dt - \Delta T_v(t_i) C_v \right\}^2 + \sum_{i=1}^n \left\{ \int_0^{t_i} \left[ P_0[1 + \alpha \Delta T_r(t)] - \frac{\Delta T_r(t)}{R_r} - \frac{\Delta T_r(t) - \Delta T_v(t)}{R_c} \right] dt - \Delta T_r(t_i) C_r \right\}^2. \quad (12)$$

A hibafüggvény minimumában grad  $H=0$ , azaz

$$\frac{\partial H}{\partial \frac{1}{R_r}} = \frac{\partial H}{\partial \frac{1}{R_v}} = \frac{\partial H}{\partial \frac{1}{R_c}} = \frac{\partial H}{\partial C_r} = \frac{\partial H}{\partial C_v} = 0. \quad (13)$$

A gradiens (13) szerinti összetevőit előállítva és zérussal egyenlővé téve, egy ötismeretlenes, inhomogén, lineáris algebrai egyenletrendszerrel kapunk:

$$\begin{bmatrix} a_{11} & 0 & a_{13} & a_{14} & 0 \\ 0 & a_{22} & a_{23} & 0 & a_{25} \\ a_{31} & a_{32} & a_{33} & a_{34} & a_{35} \\ a_{41} & 0 & a_{43} & a_{44} & 0 \\ 0 & a_{52} & a_{53} & 0 & a_{55} \end{bmatrix} \begin{bmatrix} 1/R_r \\ 1/R_v \\ 1/R_c \\ C_r \\ C_v \end{bmatrix} = \begin{bmatrix} b_1 \\ 0 \\ b_3 \\ b_4 \\ 0 \end{bmatrix}, \quad (14)$$

ahol

$$a_{11} = \sum_{i=1}^n \left[ \int_0^{t_i} \Delta T_r(t) dt \right]^2, \quad a_{22} = \sum_{i=1}^n \left[ \int_0^{t_i} \Delta T_v(t) dt \right]^2,$$

$$a_{33} = 2 \sum_{i=1}^n \left\{ \int_0^{t_i} [\Delta T_r(t) - \Delta T_v(t)] dt \right\}^2,$$

$$a_{44} = \sum_{i=1}^n [\Delta T_r(t_i)]^2, \quad a_{55} = \sum_{i=1}^n [\Delta T_v(t_i)]^2$$

$$a_{13} = a_{31} = \left[ \sum_{i=1}^n \int_0^{t_i} \Delta T_r(t) dt - \sum_{i=1}^n \int_0^{t_i} \Delta T_v(t) dt \right] \sum_{i=1}^n \int_0^{t_i} \Delta T_r(t) dt,$$

$$a_{23} = a_{32} = \left[ \sum_{i=1}^n \int_0^{t_i} \Delta T_v(t) dt - \sum_{i=1}^n \int_0^{t_i} \Delta T_r(t) dt \right] \sum_{i=1}^n \int_0^{t_i} \Delta T_v(t) dt,$$

$$a_{14} = a_{41} = \sum_{i=1}^n \Delta T_r(t_i) \int_0^{t_i} \Delta T_r(t) dt,$$

$$a_{25} = a_{52} = \sum_{i=1}^n \Delta T_v(t_i) \int_0^{t_i} \Delta T_v(t) dt,$$

$$a_{34} = a_{43} = \sum_{i=1}^n \Delta T_r(t_i) \int_0^{t_i} [\Delta T_r(t) - \Delta T_v(t)] dt,$$

$$a_{35} = a_{53} = \sum_{i=1}^n \Delta T_v(t_i) \int_0^{t_i} [\Delta T_v(t) - \Delta T_r(t)] dt,$$

$$b_1 = P_0 \sum_{i=1}^n \left[ t_i + \alpha \int_0^{t_i} \Delta T_r(t) dt \right] \int_0^{t_i} \Delta T_r(t) dt,$$

$$b_3 = P_0 \sum_{i=1}^n \left[ t_i + \alpha \int_0^{t_i} \Delta T_r(t) dt \right] \int_0^{t_i} [\Delta T_r(t) - \Delta T_v(t)] dt,$$

$$b_4 = P_0 \sum_{i=1}^n \left[ t_i + \alpha \int_0^{t_i} \Delta T_r(t) dt \right] \Delta T_r(t_i).$$

Az egyenletrendszert Gauss – Jordan-féle részleges főelem-kiválasztással [9] megoldva kaptuk a helyettesítő kép elemértékeit.

Kétségtelen, hogy az így kapott elemértékekkel közelítjük meg legjobban a mért  $\Delta T_r(t)$  és  $\Delta T_v(t)$  melegedés-idő függvényeket. Ellenőriznünk kell azonban, hogy ez a közelítés mennyire jó, azaz – a mérési hibáktól eltekintve – mennyire közelíti az alkalmazott termikus modell a valóságot.

A közelítő elméleti melegedés-idő függvények meghatározására írjuk fel először ezek Laplace-transzformáltjait:

$$\Delta T_r\{p\} = P_r\{p\} Z_{11}(p), \quad (15)$$

$$\Delta T_v\{p\} = P_r\{p\} Z_{21}(p), \quad (16)$$

ahol  $P_r\{p\}$  a  $P_r(t)$  Laplace-transzformáltja,  $Z_{11}(p)$  és  $Z_{21}(p)$  a helyettesítő kép elemei által alkotott négy-pólus bemeneti és transzfer impedanciája:

$$P_r\{p\} = P_0 \left[ \frac{1}{p} + \alpha \Delta T_r\{p\} \right], \quad (17)$$

$$Z_{11}(p) = \frac{p+d}{C_r(p^2+pg+h)}, \quad Z_{21}(p) = \frac{e}{C_r(p^2+pg+h)}, \quad (18)$$

ahol

$$d = \frac{1}{(R_v \times R_c) C_v}, \quad e = \frac{1}{R_c C_v},$$

$$g = \frac{(1 + R_r/R_v) C_r + 2C_v}{R_c C_r C_v}, \quad h = \frac{R_r + R_v + R_c}{R_r R_v R_c C_r C_v}.$$

$P_r\{p\}$  és  $Z_{11}(p)$  (17), (18) szerinti alakját a (15) egyenletbe helyettesítve, és ebből a melegedést kifejezve:

$$\Delta T_r\{p\} = \frac{P_0}{p C_r} \frac{p+d}{p^2+pg'+h'}, \quad (19)$$

ahol

$$g' = g - \frac{\alpha P_0}{C_r} \quad \text{és} \quad h' = h - \frac{d \alpha P_0}{C_r}.$$

A (16) egyenlethől az előzőkhöz hasonlóan kapjuk:

$$\Delta T_v\{p\} = \frac{P_0}{p C_r} \frac{e}{p^2+pg'+h'}. \quad (20)$$

A (19) és (20) kifejezések inverz Laplace-transzformáltjai a melegedés-idő függvények:

$$\Delta T_r(t) = \text{inv } \mathcal{L}[\Delta T_r\{p\}] = \frac{dP_0}{h' C_r} \left[ 1 + \frac{(d-\alpha_1)\alpha_2}{d(\alpha_1-\alpha_2)} e^{-\alpha_1 t} + \frac{(d-\alpha_2)\alpha_1}{d(\alpha_2-\alpha_1)} e^{-\alpha_2 t} \right], \quad (21)$$

és

$$\Delta T_v(t) = \text{inv } \mathcal{L}[\Delta T_v\{p\}] = \frac{eP_0}{h' C_r} \left[ 1 + \frac{\alpha_2}{\alpha_1-\alpha_2} e^{-\alpha_1 t} + \frac{\alpha_1}{\alpha_2-\alpha_1} e^{-\alpha_2 t} \right], \quad (22)$$

ahol  $\alpha_1 \alpha_2 = h'$  és  $\alpha_1 + \alpha_2 = g'$ .

A (21) és (22) függvényeket rárajzoltuk a méréssel felvett melegésgörbékre, azokkal megegyező lépésekben. A számított és a mért görbék sok esetben vonalvastagságon belül fedték egymást, de a többi esetben sem volt az eltérés nagyobb 2%-nál.

Az itt ismertetett számítási módszert követve programot írtunk az EMG 666 számítógépre. A program először bekéri a mérési időpontok számát ( $n$ ), a szomszédos mérési pontok közötti időközt ( $t_{i+1} - t_i$ ) és a kezdeti rézvesztési teljesítményt ( $P_0$ ). Ezután a program sorra lekérdezi a mért melegedéspárokat ( $\Delta T_r(t_i)$ ,  $\Delta T_v(t_i)$ , ( $i=1, 2, \dots, n$ )). Az utolsó adatpár beadása után kiszámítja a helyettesítő kép elemértékeit, majd bekéri az ellenőrzés céljából készítendő rajz vízszintes léptékét ( $s/mm$ ). A függőleges lépték állandó, mivel a transzformátorokat közel azonos hőmérsékletre melegítettük. A vízszintes lépték beadása után a számítógép által vezérelt rajzoló elkészíti a helyettesítő kép elemértékeiből és a rézvesztési teljesítményből kiszámított melegésgörbéket a mért görbékkel azonos léptékben, ha a rajzoló érzékenységén időközben nem változtattunk.

Hasznosnak tartjuk röviden utalni azokra a próbálkozásokra is, amelyek a fentiekben közölt számítási módszert megelőzték, néhány ponton azzal hasonlóságot mutatnak, de nem jártak kellő sikerrel.

Kezdetben a helyettesítő kép elemértékeinek meghatározására a melegedés-idő függvények (21) és (22) szerinti alakjából indultunk ki. Egyszerűsítő jelölésekkel e függvények:

$$\Delta T_r(t) = \Delta T_{rM} [1 + a_r e^{-\alpha_1 t} + (1 - a_r) e^{-\alpha_2 t}], \quad (23)$$

$$\Delta T_v(t) = \Delta T_{vM} [1 + a_v e^{-\alpha_1 t} + (1 - a_v) e^{-\alpha_2 t}]. \quad (24)$$

A továbbiakban a fenti függvények ismeretlen paramétereit ( $\Delta T_{rM}$ ,  $\Delta T_{vM}$ ,  $a_r$ ,  $a_v$ ,  $\alpha_1$ ,  $\alpha_2$ ) állapítottuk meg kétféle módszerrel.

1. Az irodalom mért görbék exponenciális függvényekkel való közelítésére direkt módszert is megad [10]. Ennek alkalmazása azonban csak akkor járt eredménnyel, ha a mért görbék elég nagy pontossággal közelítették a (23) és (24) exponenciális függvényeket. Ellenkező esetben a számítás egyes lépéseit nem lehetett végrehajtani a standard függvények ( $\ln x$ ,  $\sqrt{x}$ ) meg nem engedett argumentuma miatt.

2. A (10)–(13) összefüggések kapcsán leírtakhoz hasonlóan megpróbáltunk hibafüggvény felírásával és minimalizálásával. A hibafüggvény:

$$H(\Delta T_{rM}, \Delta T_{vM}, a_r, a_v, \alpha_1, \alpha_2) = \sum_{i=1}^n \{ \Delta T_{rM} [1 + a_r e^{-\alpha_1 t} + (1 - a_r) e^{-\alpha_2 t}] - \Delta T_r(t_i) \}^2 + \sum_{i=1}^n \{ \Delta T_{vM} [1 + a_v e^{-\alpha_1 t} + (1 - a_v) e^{-\alpha_2 t}] - \Delta T_v(t_i) \}^2, \quad (25)$$

ahol  $\Delta T_r(t_i)$  és  $\Delta T_v(t_i)$  a  $t_i$  időpontokban mért melegedések.

Grad  $H$  összetevőit előállítva és zérussal egyenlővé téve azonban itt egy nemlineáris egyenletrendszert kapunk. Ennek megoldása helyett gradiens-módszerrel kerestük a hibafüggvény minimumát. A hibafüggvény azonban a minimumhely közelében igen lassú változású, emiatt a konvergencia is lassú, és a kapott eredményt az is befolyásolja, hogy a minimumhely keresését milyen pontból kezdtük.

Feltéve, hogy a (23) és (24) függvények ismeretlen paramétereit mégis sikerül meghatározni, a (18)–(22) összefüggések visszafelé történő alkalmazásával minden további nehézség nélkül meghatározhatók a  $Z_{11}(p)$  impedancia (18) szerinti alakjának együtthatói. A helyettesítő kép elemértékei ezután a hálózatelmélet szintézis módszerével  $-Z_{11}(p)$ -nek adott struktúrában való realizálásával — határozhatók meg.

## Mérési módszer

A hőátadási viszonyok részletesebb vizsgálatát az indokolta, hogy a transzformátorok melegedésére való méretezésénél azt tapasztaltuk, hogy az irodalomból vett [4] hőátadási tényezővel számolva, az elkészült transzformátorok mindig a vártnál kevésbé melegedtek. Az említett irodalomban a mérés körülményei nincsenek egyértelműen rögzítve. Úgy döntöttünk, hogy a saját méréseinket az üzemi feltételekhez közelebb, de azoknál egyértelműen kedvezőtlenebb körülmények között végezzük. Ennek érdekében:

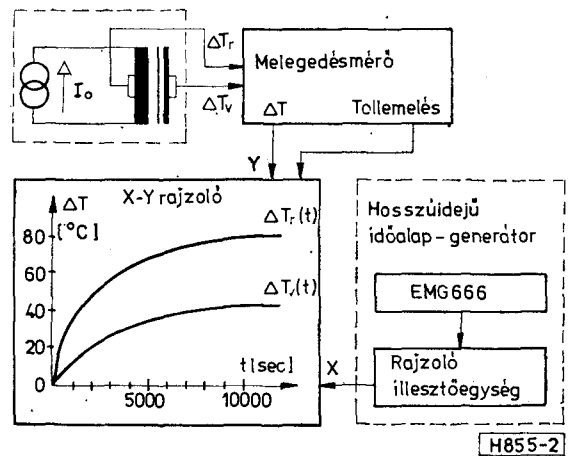
- a tekercsekte enegyárammal gerjesztettük, így a transzformátort teljes egészében rézvesztés melegíti,

- korlátoztuk a szabad levegőáramlást azzal, hogy a transzformátort egy  $300 \times 280 \times 170$  mm beírártú Kontaset dobozba helyeztük, amelynek fedő- és fenéklemezén, a hátlaphoz közeli részén két sorban  $20 \times 20$  db  $18 \times 3$  mm-es szellőzőnyílást készítettünk,

- a transzformátort rossz hővezetőre (10 mm vastag,  $30 \times 150$  mm felületű fa lapkára) állítottuk a doboz előlapjához közel.

A mérések céljára tizennyolc mintatranszformátort készítettünk az M és a TM sorozat összes méretében, a legkisebb (20/5) méret kivételével, ami hálózati transzformátor készítésére nem alkalmas.

A transzformátorok tekercselése két azonos menetszámú és huzalátmérőjű tekercsből áll, amelyek a tekercselési keresztmetszetet egészében kitöltik. A te-



2. ábra. Mérési összeállítás transzformátorok melegedésmérésére

keresek menetszáma és huzalátmérője a transzformátor 220 V-os hálózati feszültséghez tartozó primer tekercs szokásos értékeinek megfelelő.

A mérési összeállítás a 2. ábrán látható. A melegítő áram ( $I_0$ ) értékét úgy választottuk meg, hogy az irodalomból [4] átvett hőátadási tényezőt feltételezve a tekercselés állandósult melegedése mintegy  $80^\circ\text{C}$  legyen. Ez a kiértékelhetőség szempontjából elegendően nagy érték, és a transzformátor épségét még nem veszélyezteti. Így (3) és (9) alapján:

$$I_0 \cong \sqrt{\frac{k_T \Delta T_{rM}}{R_0 (1 + \alpha \Delta T_{rM})}},$$

ahol  $k_T$  az irodalomból átvett hőátadási tényező,  $\Delta T_{rM} = 80^\circ\text{C}$ ,  $\alpha = 0,004/^\circ\text{C}$ , a réz fajlagos ellenállásának hőfoktényezője.

A transzformátorokba két-két darab hőérzékelő elemet helyeztünk el, egyet a tekercselés közepén, egyet pedig a magon. A hőérzékelők melegedéssel arányos jelét egy melegedésmérő műszer [11] fogadja, amely egyrészt a mért melegedéssel arányos jelet ad az X–Y rajzoló függőleges bemenetére, másrészt mérőpontváltáskor gondoskodik a tollemelésről, így a tekercselés és a mag melegedésgörbéje egyidejűleg vehető fel. Tekintettel a hosszú mérési időkre, a rajzoló saját időalapja nem elegendő. Ezt a funkciót az EMG 666 számítógép és a rajzoló illesztő egység X csatornája tölti be egy időalapot szimuláló program segítségével.

## Mérési eredmények

A mintatranszformátorok tekercseinek adatait az 1. táblázat foglalja össze. Minden azonos névleges méretű M–TM magpárhoz azonos csövetest tartozik, így a tizennyolc transzformátorhoz csak kilenc tekercs készült. A táblázatban megadtuk a tekercsek menetszámát ( $n$ ), huzalátmérőjét ( $d$ ),  $25^\circ\text{C}$ -on mért és számított egyenáramú ellenállását ( $R_0$ ), a melegítő áramot ( $I_0$ ), a kezdeti rézvesztés teljesítményt ( $P_0$ ) és a mérés idejét ( $t_m$ ).

A melegedésmérések számítógépes kiértékelésével kapott helyettesítő kép elemértékeit a 2. táblázatban

1. táblázat

## A mintatranszformátorok tekereseinek adatai

Méret	n	d mm	R <sub>0</sub> Ω		I <sub>0</sub> mA	P <sub>0</sub> W	t <sub>m</sub> s
			szám.	mért			
30/10	4800	0,1	575	566	60	2,04	6 000
42/15	7900	0,1	1472	1415	50	3,54	6 000
55/20	4200	0,18	314	306	125	4,78	12 000
65/26	2700	0,28	103,2	102,1	250	6,38	12 000
74/32	2100	0,35	58,5	55,7	380	8,09	15 000
85/32	1450	0,5	21,2	21,7	650	9,30	15 000
85/45	1100	0,5	18,3	17,9	750	10,10	30 000
102/35	1500	0,6	17,4	17,0	900	13,80	30 000
102/53	800	0,8	6,2	5,9	1500	13,30	30 000

foglaltuk össze. A hőkapacitások ( $C_r$ ,  $C_v$ ) mellett — egybevetés céljából — feltüntettük a tekercselés és a mag tömeg-fajhő szorzataival adott hőkapacitásokat is ( $C_r(m)$ ,  $C_v(m)$ ).

A 2. táblázatban adott hőellenállásokból az (5) összefüggésekkel kiszámítható a tekercselésre vonatkoztatott hőátadási tényező ( $k_T$ ) és a hőellenállás-

arány ( $r$ ). Ezeket a 3. táblázatban foglaltuk össze. Az összehasonlítás kedvéért ugyanitt tüntettük fel az irodalomból átvett adatokat.

A mérések reprodukálhatóságának ellenőrzésére a TM 55/20 és a TM 65/26 méretű transzformátorokat négy-négy alkalommal mértük, ezen belül két-két esetben állandó teljesítményű ( $\sim 1,3 P_0$ ) gerjesztéssel is. Az eredményeket a 4. táblázat tartalmazza. Tekintettel arra, hogy a mérést és a kiértékelést szubjektív tényezők is befolyásolták (nagy számú, mintegy 80 melegedéérték leolvasása, az állandó teljesítmény kézi szabályozással való biztosítása), az eredmények reprodukálhatósága megfelelőnek mondható. Megjegyezzük még, hogy a fenti nyolc mérést mindig más mérőpáros (egyetemi hallgatók) végezte és értékelte ki.

Ugyancsak ellenőriztük azt, hogy mennyire függenek az eredmények a leolvasott  $\Delta T_r(t_i) - \Delta T_v(t_i)$  melegedéspárok számától. Ezt az 5. táblázat mutatja az állandó árammal táplált TM 65/26 méretű transzformátor esetében. A melegedésgörbéket a transzformátor egyidőállandós modelljéből számítható időállandó mintegy ötszöröséig, tehát a gyakorlatilag állandósultnak tekinthető melegedésig vettük fel. A táblázatból kitűnik, hogy az eredmények gyakorlatilag függetlenek attól, hogy a melegedéseket a görbék teljes hosszában olvastuk-e le ( $40 \times 2$  pontban) avagy csupán azok első negyedéről ( $10 \times 2$  pontban), azaz elegendő a transzformátorokat csupán az időállandóval összemérhető ideig melegíteni. Ez a felismerés lehetőséget mutat nagyobb teljesítménnyel végzett, gyorsított melegedésvizsgálatokra és ezzel a mérési idők lerövidítésére.

2. táblázat

## A helyettesítő kép elemértékei

	Méret	C <sub>r</sub> J/°C		C <sub>v</sub> J/°C		R <sub>r</sub> °C/W	R <sub>v</sub> °C/W	R <sub>0</sub> °C/W
		C <sub>r(m)</sub>	C <sub>r(ΔT)</sub>	C <sub>v(m)</sub>	C <sub>v(ΔT)</sub>			
M	30/10	9,3	8,2	21	22	171	16,2	14,4
TM			9,8	21	33	199	14,1	15,1
M	42/15	23,2	23,3	61	63	75,2	11,2	13,8
TM			24,4	77	64	48,1	15,6	15,7
M	55/20	47,1	49,6	188	110	66,9	5,3	7,9
TM			47,6	186	188	24,3	8,7	9,1
M	65/26	85,4	80,0	298	302	24,1	5,4	6,0
TM			84,6	305	265	17,1	9,1	8,8
M	74/32	119	119	457	437	25,8	4,63	4,52
TM			119	433	408	16,2	5,6	6,5
M	85/32	160	161	581	579	23,5	3,92	4,29
TM			139	597	545	16,4	5,25	5,03
M	85/45	135	137	785	819	26,6	3,11	4,37
TM			124	773	775	14,3	7,75	5,87
M	102/35	289	317	910	912	11,8	3,36	2,96
TM			263	890	909	10,2	3,67	3,44
M	102/53	318	269	1290	1293	14,4	2,14	2,89
TM			287	1450	1463	11,7	3,52	3,35

A hőátadási tényező  
és a hőellenállás-arány értékei

	Méret	$k_T$ mW/°C			$r$ mérés
		irodalom			
		mérés	[4]	[12]	
M	30/10	39	30	—	1,89
TM		39			2,07
M	42/15	53	60	45	2,23
TM		53			2,01
M	55/20	91	80	71	2,49
TM		97			2,05
M	65/26	129	100	100	2,11
TM		114			1,97
M	74/32	148	130	128	1,98
TM		144			2,16
M	85/32	164	150	152	2,09
TM		158			1,96
M	85/45	171	170	169	2,41
TM		164			2,24
M	102/35	243	200	208	1,88
TM		239			1,94
M	102/53	268	220	232	2,35
TM		231			1,95

### Az eredmények értékelése

A 3. táblázatban szereplő mért és az irodalomból átvett hőátadási tényezőket ( $k_T$ ) összehasonlítva megállapíthatjuk, hogy a pesszimális hűlési körülmények ellenére a mért értékek általában kedvezőbbek az eddig ismerteknél, az eltérés azonban nem jelentős. Mivel az azonos méretű M- és TM-magok mért hőátadási tényezői között sincs nagy eltérés, a továbbiakban azok átlagolt értékét tekintjük mérvédónak mindkét magtípusra.

A hőellenállás-arány ( $r$ ) a mért transzformátoroknál kettő körül mozog, Lörcher [12] ennél valamivel nagyobb értéket (2,5) ad meg, míg Feldtkeller [4] az egész transzformátort azonos hőmérsékletűnek tekintette ( $r=1$ ). Mi a továbbiakban — magtípustól és mérettől függetlenül —  $r=2$  értéket tételezünk fel. Kivételt képeznek a tekercselt toroid (TT) magok, amelyeknél  $r \approx 1$ . A toroid mag környezethez képesti hőellenállása ( $R_v$ ) ugyanis sokkal nagyobb, mint a mag és a tekercselés közötti hőellenállás ( $R_c$ ). Ennek oka egyrészt az, hogy a magot a tekercselés teljesen körülveszi, így a mag nem képes hőt leadni közvetlenül a környezetnek, másrészt csévetest hiányában a mag és a tekercselés közötti hőellenállás is jóval kisebb, mint a csévetesttel ellátott magtípusoké.

A (6) összefüggéssel adott tekercsmelegedésnek az indukció függvényében minimuma van, mivel a vasvesztés az indukció négyzetével egyenesen, a rézvesztés pedig fordítottan arányos [2]:

$$\Delta T_{rM} = \frac{P_r}{k_T} + \frac{P_v}{rk_T} = \frac{2A_{Tr}}{k_T \omega^2 B_1^2} \left( \sum_{i=1}^N U_i I_i \right)^2 + \frac{\gamma V_m V_1 B_1^2}{rk_T} \quad (26)$$

Szelsőérték-kereséssel megállapítható, hogy a melegedés akkor a legkisebb, ha  $P_v = rP_r$ . Ez az arány a jelenlegi izotrop, de még inkább a kis veszteségű anizotrop lágy mágneses anyagokkal csak a telítési indukciót megközelítve érhető el. A nagy üzemi indukció azonban egyéb szempontokból kedvezőtlen. A vasvesztés a telítési indukciót megközelítve a négyzetes aránynál gyorsabban növekszik, értéke nehezen tartható kézben. Másrészt a telítési indukció közelében a mag permeabilitása és mágneses vezetése rohamosan csökken, emiatt a transzformátor üresjárási primer árama és szórt mágneses tere jelentősen megnő. A nagy télerősség miatt ugyancsak nagy a magon belüli erőhatás, ami erős transzformátorzajt idéz elő [13]. A gyakorlatban ezért az izotrop anyagokban 1–1,2 T, az anizotrop anyagokban 1,5–1,7 T indukció-amplitúdót engednek meg. Ekkora indukciónál a transzformátorok vasvesztése általában jóval alatta marad a rézvesztésnek, annak mindössze tizede-harmada.

A 2. táblázatból látható, hogy a magok hőellenállása ( $R_v$ ) jelentősen kisebb a tekercselés hőellenállásánál ( $R_r$ ). Az előbbieket szerint viszont éppen a

4. táblázat

Mérési sorozat  
a reprodukálhatóság ellenőrzésére

Méret	Gerjesztés	$C_r$ J/°C	$C_v$ J/°C	$R_r$ °C/W	$R_v$ °C/W	$R_c$ °C/W
TM 55/20	Állandó áram	47,6 45,1	188 212	24,3 26,3	8,7 8,1	9,1 8,6
	Állandó teljesítmény	47,8 48,0	185 185	28,7 28,1	8,4 8,6	8,6 9,0
TM 65/26	Állandó áram	84,6 75,5	265 279	17,1 19,5	9,1 8,2	8,8 8,1
	Állandó teljesítmény	97,3 92,6	257 247	18,0 18,1	9,0 8,3	8,5 8,7

5. táblázat

Kiértékelési sorozat  
a szükséges mérési idő megállapítására

A leolvastott pontok száma	$C_r$ J/°C	$C_v$ J/°C	$R_r$ °C/W	$R_v$ °C/W	$R_c$ °C/W
40 × 2	75,5	279	19,5	8,2	8,1
30 × 2	76,1	275	19,0	8,4	8,2
20 × 2	76,5	271	18,6	8,6	8,4
10 × 2	76,1	274	19,1	8,3	8,2
5 × 2	76,6	237	15,3	9,5	9,5

6. táblázat

Hagyományos és jó hővezető csévetesttel felépített transzformátor termikus jellemzői

Csévetest	$R_s$ °C/W	$R_v$ °C/W	$R_c$ °C/W	$k_T$ mW/°C	$r$
Hagyományos	17,1	9,1	8,8	114	1,97
Alumínium	18,3	6,4	4,3	150	1,67

mag vesztesége a kisebb, a mag kedvezően kicsi hőellenállása tehát nincs kihasználva. Kézenfekvő a tekercselés és a mag közötti hőellenállás ( $R_c$ ) csökkentésével a rézvesztési hőáram nagyobb részét vezetni át a mag kis hőellenállásán. Az  $R_c$  hőellenállás csökkentésére az M-magokat szorosan lemezeljük. A várt hatás kétségkívül jelentkezett (vö. az azonos méretű M- és TM-magok  $R_c$  hőellenállásait a 2. táblázatban), ezzel együtt azonban nőtt a tekercselés hőellenállása ( $R_s$ ), mivel a csévetest belső nyílásában a szoros lemezelés miatt megszűnt a levegő-áramlás.

A csévetest hőellenállásának csökkentésére hatásosabb módszer is kínálkozik. Legyen a csévetest anyaga jó hővezető, de egyben villamos szigetelő is. Ilyen anyagokat a híradástechnikai ipar elterjedten használ — hasonló okokból — pl. monolit integrált áramkörök tokozására. Mivel az ilyen anyagokból készült egyedi csévetest a szerszám elkészítése miatt igen drága lenne, a kísérleti csévetestet alumíniumból készítettük el, kihasználva azt, hogy a csévetest által alkotott rövidzár menet a tekercsek egyenáramú gerjesztése miatt nem okoz zavart.

A kísérleti csévetestet a TM 65/26 méretű magon próbáltuk ki. A fontosabb eredményeket a 6. táblázatban hasonlítottuk össze a hagyományos csévetesttel felépített TM 65/26-os transzformátor adataival. Látható, hogy a csévetest hőellenállásának jelentős csökkenése folytán a hőátadási tényező ( $k_T$ ) olyan mértékben javult, hogy meghaladja még a méretség következő tagjához (74/32) tartozó értéket is.

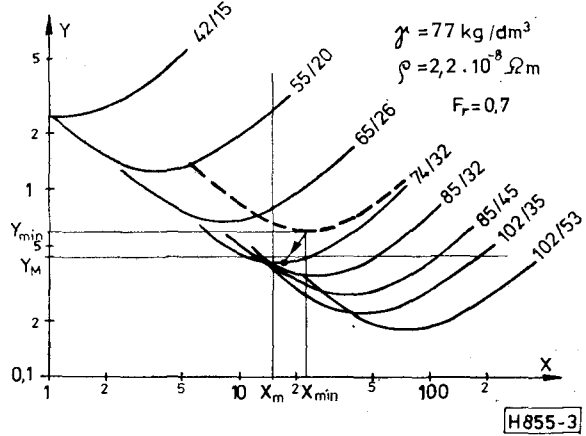
### A méretezési eljárás módosítása

A (26) egyenlet — az eredeti méretezési eljárással [2, 3] azonos módon — magméret-választási diagramok szerkesztésére alkalmas alakra hozható:

$$\frac{2AT_{rM}}{\sqrt{V_1} \sum_{i=1}^N U_i I_i} = \frac{8A_{tr}}{k_T \omega^2} \frac{\sum_{i=1}^N U_i I_i}{2\sqrt{V_1} B_1^2} + \frac{\gamma V_m}{rk_T} \frac{2\sqrt{V_1} B_1^2}{\sum_{i=1}^N U_i I_i}, \quad (27)$$

illetve egyszerűsíthető jelölésekkel:

$$Y = AX + \frac{C}{X}, \quad (28)$$



3. ábra. M- és TM-magok méretválasztási diagramjai előírt melegedés alapján

ahol  $A$  és  $C$  mérettől és anyagtól függő állandókat (és a hálózati frekvenciát), az  $X$  változó pedig a specifikációs adatokat tartalmazza:

$$A = \frac{8A_{tr}}{k_T \omega^2}, \quad C = \frac{\gamma V_m}{rk_T}, \quad X = \frac{\sum_{i=1}^N U_i I_i}{2\sqrt{V_1} B_1^2}. \quad (29)$$

A (28) függvény magméretekkel paraméterezhető görbesereget alkot, amelyet példaképpen az M- és a TM-magokra adtunk meg a 3. ábrán.

A specifikációs adatok megszabják  $X$  minimális és  $Y$  maximális értékét. Ezeket a korlátokat az ábrán  $X_m$ ,  $Y_M$ -mel jelöltük. A specifikációt kielégítő magok görbéi az egyenesek által kijelölt jobb alsó ténnyedben találhatók. Ezek közül célszerűen a legkisebb magmérethez tartozót választjuk.

Szélsőérték-számítással könnyen belátható, hogy a görbék minimumhelyének koordinátái:

$$X_{\min} = \sqrt{C/A}, \quad Y_{\min} = 2\sqrt{AC}. \quad (30)$$

A korábbi méretezési eljárás [2, 3] egydőállandós termikus modellre épített ( $r=1$ ). Mérés eredményeink alapján  $r=2$  hőellenállás-arányt véve a korábbi méretválasztási görbék minimumhelyei balra lefelé tolnának, az eredeti  $X$  és  $Y$  koordináták  $\sqrt{r}$ -ed részére. Ennek köszönhetően a specifikációt a korábbiak szerint nem teljesítő mag (1. a szaggatott görbét)  $r=2$  hőellenállás-arány esetén a specifikációt teljesíti. Ennek illusztrálására tekintsünk egy gyakorlati példát.

### Mintapélda

Műszaki előírások:

Szekunder tekercsek száma: egy, terhelése: ohmos.  
 Szekunder feszültség: 24 V, áram: 2 A.  
 Maximális üzemi hőmérséklet: 70 °C  
 Maximális környezeti hőmérséklet: 40 °C  
 Maximális indukció: 1,7 T  
 Vasvesztési szám 1 T-nál: 0,6 W/kg  
 Alkalmazható magtípus: TM-mag

Egy- és kétidőállandós termikus modell alapján méretező programok futtatási eredményei

Program:	Korábbi [3]	új [1]
Magméret	85/32	74/32
Melegedés	28,3 °C	28,9 °C
Veszteség	4,3 W	5,0 W
Réztömeg	190 g	160 g

A korábbi, egyidőállandós termikus modell szerint méretező program [3] és a kétidőállandós termikus modell alapján méretező új program [1] összehasonlítás szempontjából lényeges futtatási eredményei a 7. táblázatban találhatók. Látható, hogy az új programmal kapott transzformátor eggyel kisebb magméréssel és kevesebb rézmennyiséggel — tehát olcsóbban — realizálható. Hasonló javulás volt jellemző a legtöbb futtatási kísérletre.

#### Köszönetnyilvánítás

Köszönetet mondok dr. Granát Jánosnak, aki értékes ötletekkel járult hozzá a számítási és mérési módszer kidolgozásához. Köszönöm úgyszintén dr. Barát Zoltánnak és dr. Takács Ferencnek a kézirat átnézését és az ezzel kapcsolatos észrevételeiket, valamint Czapek Zsoltnek a mintatranszformátorok elkészítésében és a mérési eredmények feldolgozásában nyújtott segítségét.

- [1] *Pfliegel P.*: Híradástechnikai hálózati transzformátorok anyag-, energia- és technológiai optimumra való méretezése. Egyetemi doktori értekezés, BME—HEI, 1982.
- [2] *Granát J.*—*Takács F.*: Vas- és ferritmagos transzformátorok tervezése. Híradástechnika, XXII. évf. 7. sz. 201—205. o.
- [3] *Granát J.*—*Pfliegel P.*: Hálózati transzformátorok méretezése EMG 666 asztali kalkulátoron. Híradástechnika, XXX. évf. 5. sz. 135—141. o.
- [4] *Feldtkeller, R.*: Theorie der Spulen und Überträger. S. Hirzel Verlag, Stuttgart, 1958.
- [5] *Ermolin, N. P.*—*Vaganov, A. P.*: Raszcszet malomocsnüh transzformatorov. Goszenergoizdat, Moszkva, 1957.
- [6] *Almássy Gy.*: Elektronikus készülékek szerkesztése. Műszaki Könyvkiadó, Budapest, 1979, 51—128. o.
- [7] *Granát J.*: Szóbeli közlés.
- [8] *Erdélyi I.*—*Granát J.*: Szóbeli közlés.
- [9] *Ormai L.*: Lineáris egyenletrendszer megoldása. EMG 666 programozási mintapéldák, 35—38. o. BME Folyamatszabályozási Tanszék, 1974.
- [10] *Bronstein, I. N.*—*Szemengyajev, K. A.*: Matematikai zsebkönyv. Műszaki Könyvkiadó, Budapest, 1963.
- [11] *Helmich T.*: Programozható hőmérséklet- és melegedésmérő műszer tervezése és építése. Diplomaterv, BME—HEI, 1981.
- [12] *Lörcher O.*: Stromversorgung, Kapitel 2.5., s. 351—355. in Taschenbuch der Nachrichtenverarbeitung. Hrsg. K. Steinbuch, Springer Verlag, Berlin, 1962.
- [13] *Gobbi I.*—*Facsády T.*: Az elektronika korszerű transzformátorai I—IV., Finommechanika—Mikrotechnika, XII. évf., 3. sz., 89—95. o., 4. sz., 101—106. o., 5. sz., 151—154. o., 6. sz., 215—220. o.